

5 Pravděpodobnostní modely pro spojité náhodné veličiny

5.1 Spojitá náhodná veličina

Spojité náhodné veličiny nabývají všech hodnot z nějakého intervalu. Její pravděpodobnostní chování je popsáno hustotou pravděpodobnosti, což je po částech spojitá nezáporná funkce $f(x)$, která je normovaná (tj. $\int_{-\infty}^{\infty} f(x)dx = 1$) a s distribuční funkcí je spjata integrálním vztahem: $\forall x \in \mathbb{R}: F(x) = \int_{-\infty}^x f(t)dt$. Je to zidealizovaný protějšek hustoty četnosti. Pravděpodobnost, že spojitá náhodná veličina nabude nějaké konkrétní hodnoty, je 0. Při výpočtu pravděpodobnosti jevu, že spojitá náhodná veličina nabude hodnot z nějakého intervalu, tedy nehraje roli, zda je tento interval uzavřený, polouzavřený nebo otevřený, tj. $\forall a, b \in \mathbb{R}, a < b: \Pr(a \leq X \leq b) = \Pr(a < X \leq b) = \Pr(a \leq X < b) = \Pr(a < X < b) = F(b) - F(a) = \int_a^b f(x)dx$.

5.1.1 Normální rozdělení

Normální rozdělení se vyskytuje při opakovaných nezávislých měřeních téže charakteristiky za stejných podmínek. Jednotlivé naměřené hodnoty, tj. realizace náhodné veličiny X , se v důsledku působení náhodných vlivů, jejichž proměnlivost je vyjádřena konstantou $\sigma > 0$, poněkud odchylují od skutečné hodnoty μ zkoumané charakteristiky. Píšeme $X \sim N(\mu, \sigma^2)$. Parametr μ má význam střední hodnoty náhodné veličiny X , parametr σ^2 , resp. σ představuje její rozptyl, resp. směrodatnou odchylku (viz kapitola 6).

Hustota: $f(x) = \frac{1}{\sigma\sqrt{2\pi}} e^{-\frac{(x-\mu)^2}{2\sigma^2}}$.

Grafem hustoty normálního rozdělení je tzv. Gaussova křivka. Má zvonovitý tvar a je symetrická kolem osy procházející jejím vrcholem, který kulminuje nad hodnotou parametru μ .

Věta 5.1: Důležité vlastnosti normálního rozdělení:

- Jestliže $X \sim N(\mu, \sigma^2)$ a $Z = a + bX$, pak $Z \sim N(a + b\mu, b^2\sigma^2)$.
- Jestliže X_1, \dots, X_n jsou stochasticky nezávislé náhodné veličiny, $X_i \sim N(\mu_i, \sigma_i^2)$, $i = 1, \dots, n$, $Z = \sum_{i=1}^n X_i$, pak $Z \sim N(\sum_{i=1}^n \mu_i, \sum_{i=1}^n \sigma_i^2)$.
- Jestliže X_1, \dots, X_n jsou stochasticky nezávislé náhodné veličiny, $X_i \sim N(\mu, \sigma^2)$, $i = 1, \dots, n$, $M = \frac{1}{n} \sum_{i=1}^n X_i$, pak $M \sim N(\mu, \frac{\sigma^2}{n})$.
- Pravděpodobnost, že náhodná veličina $X \sim N(\mu, \sigma^2)$ se realizuje v nějakém intervalu $\langle a, b \rangle$, nemůžeme vypočítat jako $\Pr(a \leq X \leq b) = \int_a^b f(x)dx$, protože jde o integrál z vyšší transcendentní funkce (funkce, kterou nelze vyjádřit prostřednictvím konečného počtu elementárních funkcí). Lze využít toho, že $\Pr(a \leq X \leq b) = F(b) - F(a)$, přičemž hodnoty distribuční funkce $F(x)$ získáme pomocí statistického softwaru.

V praxi jsou zvláště užitečné následující pravděpodobnosti (společně tvoří pravidlo 3σ):

- $\Pr(\mu - \sigma \leq X \leq \mu + \sigma) \doteq 0,6827$,
- $\Pr(\mu - 2\sigma \leq X \leq \mu + 2\sigma) \doteq 0,9545$,
- $\Pr(\mu - 3\sigma \leq X \leq \mu + 3\sigma) \doteq 0,9973$.

Poznámka: Uvedené tři rovnosti lze použít k jednoduchému ověření, zda se hodnoty v datovém souboru řídí normálním rozdělením. Z dat vypočítáme aritmetický průměr m a směrodatnou odchylku s . Pokud přibližně 68,27% hodnot leží v intervalu $(m - s, m + s)$, 95,45% hodnot leží v intervalu $(m - 2s, m + 2s)$ a 99,73% hodnot leží v intervalu $(m - 3s, m + 3s)$, lze soudit, že data pocházejí z normálního rozdělení.


Vzorce pro výpočty pravděpodobností pomocí normálního rozdělení v softwaru 

- $\Pr(X \leq x) = F(x) = \text{pnorm}(x, \text{mu}, \text{sigma})$,
- $\Pr(X \geq x) = 1 - F(x) = 1 - \text{pnorm}(x, \text{mu}, \text{sigma})$,
- $\Pr(a \leq X \leq b) = F(b) - F(a) = \text{pnorm}(b, \text{mu}, \text{sigma}) - \text{pnorm}(a, \text{mu}, \text{sigma})$.

5.1.2 Standardizované normální rozdělení

Pro $\mu = 0$, $\sigma^2 = 1$ se jedná o standardizované normální rozdělení, píšeme $U \sim N(0, 1)$.

Hustota: $f(u) = \frac{1}{\sqrt{2\pi}} e^{-\frac{u^2}{2}}$.

Hodnoty distribuční funkce $F(u) = \int_{-\infty}^u \frac{1}{\sqrt{2\pi}} e^{-\frac{t^2}{2}} dt$ vypočítáme v softwaru  příkazem `pnorm(u)`. Pro $u \geq 0$ lze hodnoty $F(u)$ nalézt také ve statistických tabulkách. Pro $u < 0$ se při použití tabulek používá přepočtový vzorec $F(u) = 1 - F(-u)$. Jestliže $X \sim N(\mu, \sigma^2)$, pak $U = \frac{X-\mu}{\sigma} \sim N(0, 1)$.

Příklad 5.1. Řešený příklad

Načtete datový soubor `13-two-samples-correlations-trunk.txt` obsahující údaje o délce dolní končetiny v mm (`lowex.L`) a délce trupu v mm (`tru.L`) u mladých dospělých mužů a žen. Předpokládejme, že náhodná veličina X popisuje délku dolní končetiny v mm u žen. (a) Najděte rozdělení, které dostatečně dobře vystihuje pravděpodobnostní chování náhodné veličiny X , a odhadněte parametry tohoto rozdělení; (b) ověřte, že nalezené rozdělení je vhodné na popis náhodné veličiny X ; pro naměřená data vykreslete histogram a superponujte jej křivkou jádrového odhadu hustoty a křivkou hustoty nalezeného rozdělení. Obě křivky vzájemně porovnejte.

Řešení příkladu 5.1

Datový soubor načteme a vypíšeme prvních pět řádků tabulky. Z načteného souboru vybereme pouze údaje o délce dolní končetiny u žen a z výběru odstraníme řádky s chybějícími hodnotami. Nakonec příkazem `length()` zjistíme rozsah výběru a příkazem `range()` rozpětí naměřených hodnot.

```
1 data <- read.delim("13-two-samples-correlations-trunk.txt", sep = "\t")
2 head(data, n = 5)
3 lowex.LF <- na.omit(data[data$sex == "f", "lowex.L"])
4 n <- length(lowex.LF) # 100
5 range(lowex.LF) # 836; 1076
```

Datový soubor obsahuje údaje o délce dolní končetiny u 100 žen. Naměřené hodnoty se pohybují v rozmezí 836 mm až 1076 mm. Délka dolní končetiny u žen je spojitý znak, k jeho popisu tedy použijeme spojitou náhodnou veličinu. Protože délka dolní končetiny je tělesný rozměr, mohlo by k popisu tohoto znaku být vhodné normální rozdělení. O náhodné veličině X tedy předpokládáme, že pochází z normálního rozdělení s parametry μ a σ^2 , kde μ je střední hodnota délky dolní končetiny u žen a σ^2 je rozptyl délky dolní končetiny u žen okolo střední hodnoty μ . Parametr μ odhadneme pomocí aritmetického průměru naměřených hodnot, tj.

$$\hat{\mu} = m = \frac{1}{n} \sum_{i=1}^n x_i.$$

Parametr σ^2 odhadneme pomocí rozptylu naměřených hodnot, tj.

$$\hat{\sigma}^2 = s^2 = \frac{1}{n-1} \sum_{i=1}^n (x_i - m)^2.$$

Aritmetický průměr m vypočítáme příkazem `mean()`. Rozptyl s^2 budeme častěji zapisovat ve tvaru druhé mocniny směrodatné odchylky, jejíž hodnotu vypočítáme příkazem `sd()`.

```
6 m <- mean(lowex.LF) # 940,5
7 s <- sd(lowex.LF) # 45,47116
```

Odhad parametru střední hodnoty $m = 940,50$, odhad parametru rozptylu $s^2 = 45,47^2$. Délka dolní končetiny u žen se pohybuje okolo střední hodnoty 940,50 mm se směrodatnou odchylkou 45,47 mm. O náhodné veličině X předpokládáme, že pochází z normálního rozdělení s parametry $\mu = 940,50$ a $\sigma^2 = 45,47^2$, tj. $X \sim N(940,50; 45,47^2)$.

Nyní vykreslíme histogram s křivkou jádrového odhadu hustoty, který vypočítáme na základě naměřených dat, a s křivkou hustoty rozdělení $N(940,50; 45,47^2)$. Naměřené hodnoty roztrídíme do osmi třídicích intervalů o ekvidistantní délce 31 mm stanovením hranic 830, 861, ..., 1078 mm. Histogram vykreslíme příkazem `hist()` s argumentem `prob = T` (viz kapitola 2). Jádrový odhad hustoty vypočítáme příkazem `density()`, jehož jediným vstupním argumentem bude vektor `lowex.LF`. Křivku jádrového odhadu hustoty vykreslíme příkazem `lines()` aplikovaným na

výstup funkce `density()`. Barvu křivky jádrového odhadu hustoty volíme v podobném odstínu jako barvu histogramu, protože oba objekty reprezentují naměřená data.

```

8 r <- round(1 + 3.3 * log10(n)) # 8
9 # 1076 - 835 = 241; 248 / 8 = 31 -> seq(830, 1078, by = 31)
10 b.lowex.LF <- seq(from = 830, to = 1078, by = 31)
11 hist(lowex.LF, prob = T, breaks = b.lowex.LF, include.lowest = F, ylim = c(0, 0.012),
      axes = F, col = "thistle1", border = "mediumorchid4", xlab = "délka dolní končetiny
      (mm)", ylab = "f(x)", main = "")
12 box(bty = "o")
13 c.lowex.LF <- hist(lowex.LF, breaks = b.lowex.LF, plot = F)$mids
14 axis(side = 1, at = c.lowex.LF)
15 axis(side = 2, las = 1)
16 lines(density(lowex.LF), lwd = 2, col = "mediumorchid4")

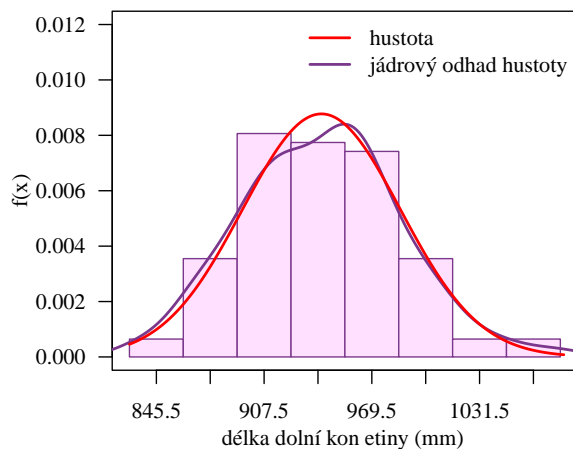
```

Pro vykreslení křivky hustoty rozdělení $N(940, 50; 45, 47^2)$ je třeba nejprve příkazem `seq()` vytvořit posloupnost hodnot x pokrývající rozpětí naměřených délek dolní končetiny u žen. Pro každý prvek této posloupnosti potom příkazem `dnorm()` vypočítáme hodnotu hustoty rozdělení $N(940, 50; 45, 47^2)$. Vstupními argumenty příkazu budou posloupnost x (argument `x`), odhad parametru μ (argument `mean`) a odhad parametru σ (argument `sd`). Křivku hustoty vykreslíme příkazem `lines()`. Nakonec do grafu doplníme legendu popisující význam vykreslených křivek. Výsledný histogram je zobrazen na obrázku 5.1.

```

17 x <- seq(from = 830, to = 1080, length = 512)
18 fx <- dnorm(x = x, mean = m, sd = s)
19 lines(x, fx, col = "red", lwd = 2)
20 legend("topright", bty = "n", lwd = c(2, 2), col = c("red", "mediumorchid4"), legend =
      c("hustota", "jádrový odhad hustoty"))

```



Obrázek 5.1: Histogram pro délku dolní končetiny u žen superponovaný křivkou jádrového odhadu hustoty a křivkou hustoty normálního rozdělení

Z obrázku 5.1 vidíme, že křivka jádrového odhadu hustoty a křivka hustoty rozdělení $N(940, 50; 45, 47^2)$ jsou si tvarem velmi blízké. Grafická vizualizace tedy podporuje náš závěr, že náhodná veličina X popisující délku dolní končetiny v mm u žen pochází z normálního rozdělení s parametry $\mu = 940, 50$ a $\sigma^2 = 45, 47^2$.

Poznámka: Grafická vizualizace je nástrojem sloužícím k subjektivnímu posouzení normálního rozdělení dat. V kapitole 8 si ukážeme objektivní zhodnocení normality dat prostřednictvím testů normality. ★

Příklad 5.2. Řešený příklad

Za předpokladu, že náhodná veličina X popisující délku dolní končetiny v mm u žen pochází z rozdělení $N(940, 50; 45, 47^2)$, vypočítejte pravděpodobnost, že délka dolní končetiny u žen bude (a) menší než 962,50 mm; (b) větší než 974,13 mm;

(c) v rozmezí 930,00 mm až 950,00 mm; (d) rovná 943,25 mm. K výpočtu pravděpodobností použijte nezaokrouhlené odhady parametrů μ a σ^2 vypočítané v příkladu 5.1.

Řešení příkladu 5.2

Pravděpodobnost, že délka dolní končetiny u žen bude menší než 962,50 mm, tj. $\Pr(X < 962,50) = \Pr(X \leq 962,50)$ odpovídá hodnotě distribuční funkce $F(x)$ rozdělení $N(940, 50; 45, 47^2)$ v bodě $x = 962,50$. Tuto hodnotu vypočítáme příkazem `pnorm()`. Vstupními argumenty příkazu budou hodnota x (argument `q`), odhad parametru μ (argument `mean`) a odhad parametru σ (argument `sd`).

```
21 pnorm(q = 962.50, mean = m, sd = s) # 0,6857443
```

Pravděpodobnost, že délka dolní končetiny u žen bude větší než 974,13 mm, tj. $\Pr(X > 974,13) = \Pr(X \geq 974,13)$, vypočítáme tak, že od jedné odečteme pravděpodobnost, že délka dolní končetiny u žen bude nejvýše 974,13 mm. Tuto pravděpodobnost, odpovídající hodnotě distribuční funkce $F(x)$ v bodě $x = 974,13$, vypočítáme příkazem `pnorm()`.

```
22 1 - pnorm(q = 974.13, mean = m, sd = s) # 0,2297745
```

Pravděpodobnost, že délka dolní končetiny u žen bude v rozmezí 930,00 mm až 950,00 mm, tj. $\Pr(930,00 < X < 950,00) = \Pr(930,00 \leq X < 950,00) = \Pr(930,00 < X \leq 950,00) = \Pr(930,00 \leq X \leq 950,00)$, vypočítáme tak, že od pravděpodobnosti, že délka dolní končetiny u žen bude nejvýše 950,00 mm, odečteme pravděpodobnost, že délka dolní končetiny u žen bude nejvýše 930,00 mm. Obě pravděpodobnosti jsou hodnotami distribuční funkce $F(x)$ v bodě $x = 950,00$, resp. v bodě $x = 930,00$ a vypočítáme je příkazem `pnorm()`.

```
23 pnorm(q = 950.00, mean = m, sd = s) - pnorm(q = 930.00, mean = m, sd = s) # 0,1740559
```

Pravděpodobnost, že délka dolní končetiny u žen bude rovná 943,25 mm, tj. $\Pr(X = 943,25)$, je z definice rovná nule, protože náhodná veličina X má spojitě rozdělení.

Pravděpodobnost, že délka dolní končetiny u žen bude menší než 962,50 mm, je 0,6857 (68,57%). Pravděpodobnost, že délka dolní končetiny u žen bude větší než 974,13 mm, je 0,2298 (22,98%). Pravděpodobnost, že délka dolní končetiny u žen bude v rozmezí 930,00 mm až 950,00 mm, je 0,1741 (17,41%). Pravděpodobnost, že délka dolní končetiny u žen bude rovná 943,25 mm, je 0,0000 (0,00%). ★

Příklad 5.3. Řešený příklad

Za předpokladu, že náhodná veličina X popisující délku dolní končetiny v mm u žen pochází z rozdělení $N(940, 50; 45, 47^2)$,

(a) zjistěte rozdělení náhodné veličiny $M = \frac{1}{8} \sum_{i=1}^8 X_i$ popisující průměrnou délku dolní končetiny v mm u osmi žen a odhadněte parametry tohoto rozdělení; (b) vypočítejte pravděpodobnost, že průměrná délka dolní končetiny u osmi žen bude (i) menší než 962,50 mm; (ii) větší než 974,13 mm; (iii) v rozmezí 930,00 mm až 950,00 mm; (iv) rovná 943,25 mm. K výpočtu odhadů parametrů rozdělení náhodné veličiny M použijte nezaokrouhlené odhady parametrů μ a σ^2 vypočítané v příkladu 5.1.

Řešení příkladu 5.3

Za předpokladu, že náhodná veličina X pochází z normálního rozdělení s parametry $\mu = 940,50$ a $\sigma^2 = 45,47^2$, můžeme z třetího bodu věty 5.1 odvodit, že náhodná veličina M pochází z normálního rozdělení s parametry $\mu_M = \mu = 940,50$ a $\sigma_M^2 = \frac{45,47^2}{8} = 16,08^2$, tj. $M \sim N(940,50; 16,08^2)$.

```
24 sM <- sqrt(s ^ 2 / 8) # 16,07648
```

Průměrná délka dolní končetiny u osmi žen se pohybuje okolo střední hodnoty 940,50 mm se směrodatnou odchylkou 16,08 mm.

Pravděpodobnost, že průměrná délka dolní končetiny u osmi žen bude menší než 962,50 mm, tj. $\Pr(M < 962,50) = \Pr(M \leq 962,50)$ odpovídá hodnotě distribuční funkce $F_M(x)$ rozdělení $N(940,50; 16,08^2)$ v bodě $x = 962,50$. Tuto hodnotu vypočítáme příkazem `pnorm()`.

```
25 pnorm(q = 962.50, mean = m, sd = sM) # 0,9144157
```

Pravděpodobnost, že průměrná délka dolní končetiny u osmi žen bude větší než 974,13 mm, tj. $\Pr(M > 974,13) = \Pr(M \geq 974,13)$, vypočítáme tak, že od jedné odečteme pravděpodobnost, že průměrná délka dolní končetiny u

osmi žen bude nejvýše 974,13 mm. Tuto pravděpodobnost, odpovídající hodnotě distribuční funkce $F_M(x)$ v bodě $x = 974,13$, vypočítáme příkazem `pnorm()`.

```
26 1 - pnorm(q = 974.13, mean = m, sd = sM) # 0,01822483
```

Pravděpodobnost, že průměrná délka dolní končetiny u osmi žen bude v rozmezí 930,00 mm až 950,00 mm, tj. $\Pr(930,00 < M < 950,00) = \Pr(930,00 \leq M < 950,00) = \Pr(930,00 < M \leq 950,00) = \Pr(930,00 \leq M \leq 950,00)$, vypočítáme tak, že od pravděpodobnosti, že průměrná délka dolní končetiny u osmi žen bude nejvýše 950,00 mm, odečteme pravděpodobnost, že průměrná délka dolní končetiny u osmi žen bude nejvýše 930,00 mm. Obě pravděpodobnosti jsou hodnotami distribuční funkce $F_M(x)$ v bodě $x = 950,00$, resp. v bodě $x = 930,00$ a vypočítáme je příkazem `pnorm()`.

```
27 pnorm(q = 950.00, mean = m, sd = sM) - pnorm(q = 930.00, mean = m, sd = sM) # 0,4658779
```

Pravděpodobnost, že průměrná délka dolní končetiny u osmi žen bude rovná 943,25 mm, tj. $\Pr(M = 943,25)$, je z definice rovná nule, protože náhodná veličina M pochází ze spojitého rozdělení.

Pravděpodobnost, že průměrná délka dolní končetiny u osmi žen bude menší než 962,50 mm, je 0,9144 (91,44 %).
 Pravděpodobnost, že průměrná délka dolní končetiny u osmi žen bude větší než 974,13 mm, je 0,0182 (1,82 %).
 Pravděpodobnost, že průměrná délka dolní končetiny u osmi žen bude v rozmezí 930,00 mm až 950,00 mm, je 0,4659 (46,59 %).
 Pravděpodobnost, že průměrná délka dolní končetiny u osmi žen bude rovná 943,25 mm, je 0,0000 (0,00 %).

★

Příklad 5.4. Řešený příklad

Předpokládejme, že náhodná veličina X popisující délku dolní končetiny v mm u žen pochází z rozdělení $N(940,50; 45,47^2)$ a náhodná veličina M popisující průměrnou délku dolní končetiny v mm u osmi žen pochází z rozdělení $N(940,50; 16,08^2)$. Do jednoho grafu nakreslete (a) křivku funkce hustoty $f(x)$, resp. $f_M(x)$; (b) křivku distribuční funkce $F(x)$, resp. $F_M(x)$. Křivky vzájemně porovnejte.

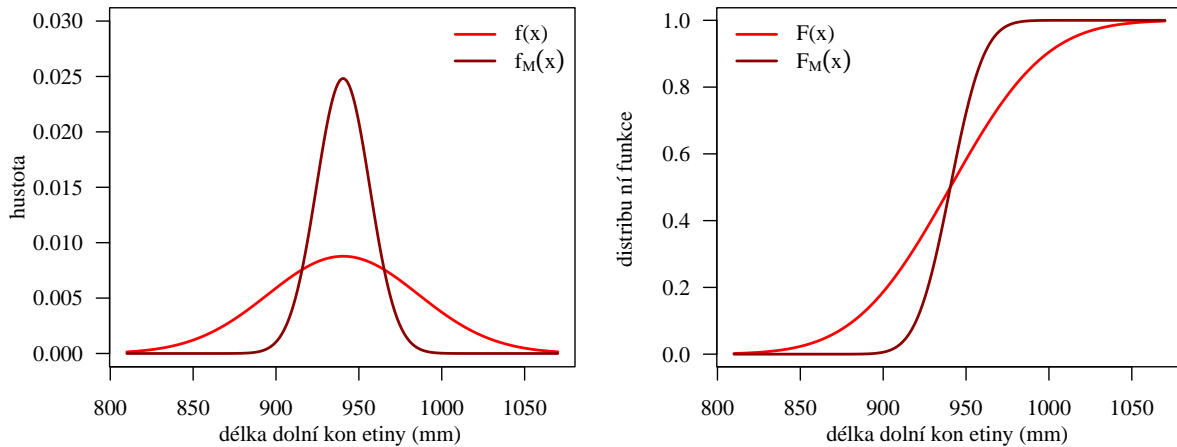
Řešení příkladu 5.4

K vykreslení grafu s křivkami hustot si nejprve vytvoříme posloupnost hodnot z intervalu se středem v bodě 940,50 mm, tj. například posloupnost v rozmezí 810 mm až 1071 mm. Pro každý prvek této posloupnosti potom příkazem `dnorm()` vypočítáme hodnotu hustoty $f(x)$ rozdělení $N(940,50; 45,47^2)$, resp. hustoty $f_M(x)$ rozdělení $N(940,50; 16,08^2)$. Následně příkazem `plot()` s argumentem `type = "l"` vykreslíme graf s křivkou hustoty $f(x)$ a příkazem `lines()` do něj doplníme křivku hustoty $f_M(x)$. Výsledný graf je zobrazen na obrázku 5.2 vlevo.

```
28 x <- seq(from = 810, to = 1071, length = 512)
29 fx <- dnorm(x = x, mean = m, sd = s)
30 fM <- dnorm(x = x, mean = m, sd = sM)
31 plot(x, fx, type = "l", las = 1, ylim = c(0, 0.03), lwd = 2, col = "red", xlab = "délka
    dolní končetiny (mm)", ylab = "hustota")
32 lines(x, fM, lwd = 2, col = "darkred")
33 legend("topright", bty = "n", lwd = c(2, 2), col = c("red", "darkred"), legend =
    c("f(x)", expression(f[M](x))))
```

Nyní se zaměříme na vykreslení grafu s křivkami distribučních funkcí. Nejprve pro každý prvek posloupnosti z rozmezí 810 mm až 1071 mm vypočítáme pomocí funkce `pnorm()` hodnotu distribuční funkce $F(x)$ rozdělení $N(940,50; 45,47^2)$, resp. distribuční funkce $F_M(x)$ rozdělení $N(940,50; 16,08^2)$. Následně příkazem `plot()` s argumentem `type = "l"` vykreslíme graf s křivkou distribuční funkce $F(x)$ a příkazem `lines()` do něj doplníme křivku distribuční funkce $F_M(x)$. Graf s křivkami distribučních funkcí je zobrazen na obrázku 5.2 vpravo.

```
34 Fx <- pnorm(q = x, mean = m, sd = s)
35 FM <- pnorm(q = x, mean = m, sd = sM)
36 plot(x, Fx, type = "l", las = 1, lwd = 2, col = "red", xlab = "délka dolní končetiny
    (mm)", ylab = "distribuční funkce")
37 lines(x, FM, lwd = 2, col = "darkred")
38 legend("topleft", bty = "n", lwd = c(2, 2), col = c("red", "darkred"), legend =
    c("F(x)", expression(F[M](x))))
```



Obrázek 5.2: Graf křivek funkcí hustoty (vlevo); graf křivek distribučních funkcí (vpravo) rozdělení $N(940, 50; 45, 47^2)$, resp. rozdělení $N(940, 50; 16, 08^2)$

Z obrázku 5.2 vlevo vidíme, že vrchol křivek obou hustot se nachází nad střední hodnotou $\mu = 940, 50$ mm. Křivka hustoty $f_M(x)$ nabývá zpočátku hodnot blízkých nule, od určitého okamžiku pak začíná strmě růst až do vrcholu v bodě 940, 50 mm, a následně strmě klesá. Ve srovnání s křivkou hustoty $f_M(x)$ křivka hustoty $f(x)$ od začátku roste pozvolna až do svého vrcholu v bodě 940, 50 mm a od tohoto bodu pozvolna klesá. Tento průběh je důsledkem osmkrát většího rozptylu rozdělení náhodné veličiny X . Z obrázku 5.2 vpravo vidíme, že křivka distribuční funkce $F_M(x)$ nabývá na poměrně dlouhém úseku hodnot blízkých nule, následně začne strmě růst a od určitého okamžiku je její růst k hodnotě 1 velmi pomalý. Ve srovnání s křivkou distribuční funkce $F_M(x)$ křivka distribuční funkce $F(x)$ roste pozvolna po celé délce zobrazeného úseku. Obě křivky se protínají v jediném bodě $[940, 50; 0, 5]$, což značí, že 50 % hodnot délky dolní končetiny u žen je menších než 940, 50 mm a stejně tak 50 % hodnot průměrné délky dolní končetiny u osmi žen je menších než 940, 50 mm.

★

Příklad 5.5. Neřešený příklad

Načtete datový soubor 15-anova-means-skull.txt obsahující údaje o výšce horní části tváře v mm (upface.H) u mužů bantuské, čínské, malajské, německé a peruánské populace. Předpokládejme, že náhodná veličina X popisuje výšku horní části tváře v mm u mužů malajské populace. (a) Najděte rozdělení, které dostatečně dobře vystihuje pravděpodobnostní chování náhodné veličiny X , a odhadněte parametry tohoto rozdělení; (b) ověřte, že nalezené rozdělení je vhodné na popis náhodné veličiny X ; pro naměřená data vykreslete histogram a superponujte jej křivkou jádrového odhadu hustoty a křivkou hustoty nalezeného rozdělení. Obě křivky vzájemně porovnejte.

Výsledky: (a) $X \sim N(70, 13; 4, 95^2)$; (b) histogram s křivkou jádrového odhadu hustoty a s křivkou hustoty rozdělení $N(70, 13; 4, 95^2)$ viz obrázek 5.3.

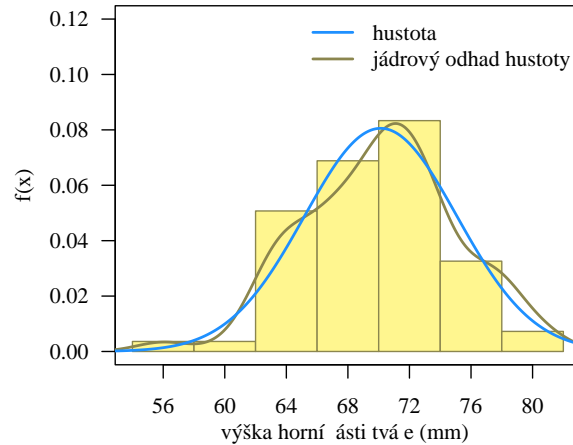
★

Příklad 5.6. Neřešený příklad

Za předpokladu, že náhodná veličina X popisující výšku horní části tváře v mm u mužů malajské populace pochází z rozdělení $N(70, 13; 4, 95^2)$, vypočítejte pravděpodobnost, že výška horní části tváře u mužů malajské populace bude (a) větší než 70,75 mm; (b) menší než 66,15 mm; (c) rovná 82,30 mm; (d) v rozmezí 64,40 mm až 72,40 mm. K výpočtu pravděpodobností použijte nezaokrouhlené odhady parametrů μ a σ^2 vypočítané v příkladu 5.5.

Výsledky: (a) $\Pr(X > 70, 75) = 0, 4502$; (b) $\Pr(X < 66, 15) = 0, 2108$; (c) $\Pr(X = 82, 30) = 0, 0000$; (d) $\Pr(64, 40 < X < 72, 40) = 0, 5530$.

★



Obrázek 5.3: Histogram pro výšku horní části tváře u mužů superponovaný křivkou jádrového odhadu hustoty a křivkou hustoty normálního rozdělení

Příklad 5.7. Neřešený příklad

Za předpokladu, že náhodná veličina X popisující výšku horní části tváře v mm u mužů malajské populace pochází z rozdělení $N(70, 13; 4, 95^2)$, (a) zjistěte rozdělení náhodné veličiny $M = \frac{1}{5} \sum_{i=1}^5 X_i$ popisující průměrnou výšku horní části tváře v mm u pěti mužů malajské populace a odhadněte parametry tohoto rozdělení; (b) vypočítejte pravděpodobnost, že průměrná výška horní části tváře u pěti mužů malajské populace bude (i) větší než 70,75 mm; (ii) menší než 66,15 mm; (iii) rovná 82,30 mm; (iv) v rozmezí 64,40 mm až 72,40 mm. K výpočtu odhadů parametrů rozdělení náhodné veličiny M použijte nezaokrouhlené odhady parametrů μ a σ^2 vypočítané v příkladu 5.5.

Výsledky: (a) $M \sim N(70, 13; 2, 21^2)$; (b-i) $\Pr(M > 70,75) = 0,3898$; (b-ii) $\Pr(M < 66,15) = 0,0362$; (b-iii) $\Pr(M = 82,30) = 0,0000$; (b-iv) $\Pr(64,40 < M < 72,40) = 0,8424$.

★

Příklad 5.8. Neřešený příklad

Předpokládejme, že náhodná veličina X popisující výšku horní části tváře v mm u mužů malajské populace pochází z rozdělení $N(70, 13; 4, 95^2)$ a náhodná veličina M popisující průměrnou výšku horní části tváře v mm u pěti mužů malajské populace pochází z rozdělení $N(70, 13; 2, 21^2)$. Do jednoho grafu nakreslete (a) křivku funkce hustoty $f(x)$, resp. $f_M(x)$; (b) křivku distribuční funkce $F(x)$, resp. $F_M(x)$. Křivky vzájemně porovnejte.

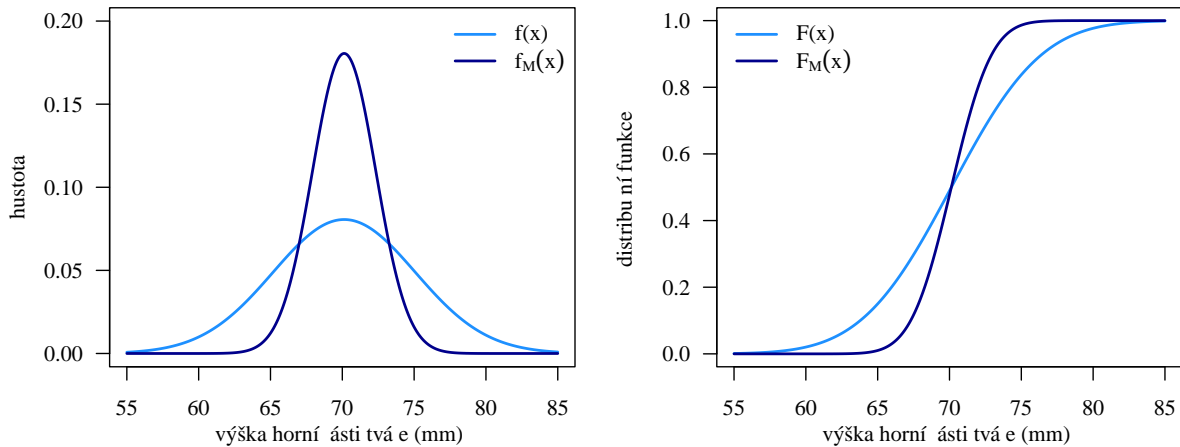
Výsledky: (a) graf s křivkami hustot $f(x)$ a $f_M(x)$ viz obrázek 5.4 vlevo; (b) graf s křivkami distribučních funkcí $F(x)$ a $F_M(x)$ viz obrázek 5.4 vpravo.

★

5.2 Spojitý dvourozměrný náhodný vektor

Jestliže obě složky dvourozměrného náhodného vektoru $(X, Y)^T$ jsou spojité náhodné veličiny, hovoříme o spojitém dvourozměrném náhodném vektoru. Jeho pravděpodobnostní chování je popsáno simultánní hustotou pravděpodobnosti $f(x, y)$. Hustota náhodné veličiny X , resp. Y se značí $f_X(x)$, resp. $f_Y(y)$ a nazývá se marginální hustota. Získá se tak, že se simultánní hustota pravděpodobnosti integruje přes přebývající proměnnou. Náhodné veličiny X , Y jsou stochasticky nezávislé, když $\forall(x, y)^T \in \mathbb{R}^2$ platí $f(x, y) = f_X(x)f_Y(y)$. Pravděpodobnost, že náhodný vektor $(X, Y)^T$ se bude realizovat v nějaké dvourozměrné oblasti B , se vypočítá jako dvojnásobný integrál ze simultánní hustoty přes tuto oblast:

$$\Pr((X, Y)^T \in B) = \int_{(x,y)^T \in B} \int f(u, v) du dv.$$



Obrázek 5.4: Graf křivek funkcí hustoty (vlevo); graf křivek distribučních funkcí (vpravo) rozdělení $N(70, 13; 4, 95^2)$, resp. rozdělení $N(70, 13; 2, 21^2)$

5.2.1 Dvourozměrné normální rozdělení

Dvourozměrné normální rozdělení vzniká ve dvourozměrných situacích za podobných okolností jako normální rozdělení. Závisí na reálném vektoru $\boldsymbol{\mu} = (\mu_1, \mu_2)^T$ a reálné čtvercové symetrické matici $\boldsymbol{\Sigma} = \begin{pmatrix} \sigma_1^2 & \rho\sigma_1\sigma_2 \\ \rho\sigma_1\sigma_2 & \sigma_2^2 \end{pmatrix}$. Vektor $\boldsymbol{\mu}$ se nazývá vektor středních hodnot, matice $\boldsymbol{\Sigma}$ se nazývá varianční matice. Píšeme $(X, Y)^T \sim N_2(\boldsymbol{\mu}, \boldsymbol{\Sigma})$. Přitom $\mu_1 \in \mathbb{R}$, $\mu_2 \in \mathbb{R}$ jsou střední hodnoty veličin X , Y , $\sigma_1 > 0$, $\sigma_2 > 0$ jsou směrodatné odchylky a $\rho \in \langle -1, 1 \rangle$ je koeficient korelace veličin X , Y (viz kapitola 6).

Hustota má tvar: $f(x, y) = \frac{1}{\sigma_1\sigma_2\sqrt{1-\rho^2}} e^{-\frac{q(x,y)}{2}}$, kde $q(x, y) = \frac{1}{1-\rho^2} \left[\left(\frac{x-\mu_1}{\sigma_1} \right)^2 - 2\rho \frac{x-\mu_1}{\sigma_1} \frac{y-\mu_2}{\sigma_2} + \left(\frac{y-\mu_2}{\sigma_2} \right)^2 \right]$.

Pro $\mu_1 = 0$, $\mu_2 = 0$, $\sigma_1^2 = 1$, $\sigma_2^2 = 1$, $\rho \in \langle -1, 1 \rangle$ se jedná o standardizované dvourozměrné normální rozdělení. Píšeme $\mathbf{U} = (U_1, U_2)^T \sim N_2(\mathbf{0}, \mathbf{I})$, kde $\mathbf{0} = (0, 0)^T$ je nulový vektor a $\mathbf{I} = \begin{pmatrix} 1 & 0 \\ 0 & 1 \end{pmatrix}$ je jednotková matice druhého řádu.

Věta 5.2: Důležité vlastnosti dvourozměrného normálního rozdělení:

- Jestliže $(X, Y)^T \sim N_2(\boldsymbol{\mu}, \boldsymbol{\Sigma})$, $\mathbf{a} = (a_1, a_2)^T$ je reálný vektor, $\mathbf{B} = \begin{pmatrix} b_{11} & b_{12} \\ b_{21} & b_{22} \end{pmatrix}$ je reálná matice, pak pro transformovaný náhodný vektor $\mathbf{Z} = \mathbf{a} + \mathbf{B}(X, Y)^T$ platí, že $\mathbf{Z} \sim N_2(\mathbf{a} + \mathbf{B}\boldsymbol{\mu}, \mathbf{B}\boldsymbol{\Sigma}\mathbf{B}^T)$.
- Marginální rozdělení náhodné veličiny X , resp. Y jsou $X \sim N(\mu_1, \sigma_1^2)$, resp. $Y \sim N(\mu_2, \sigma_2^2)$.
- Je-li koeficient korelace $\rho = 0$, pak řekneme, že veličiny X a Y jsou nekorelované a znamená to, že mezi nimi není žádná lineární závislost. U dvourozměrného normálního rozdělení je však nekorelovanost ekvivalentní se stochastickou nezávislostí veličin X a Y .

Příklad 5.9. Řešený příklad

Načtěte datový soubor 31-goldman-alaska-hfirt.csv obsahující údaje o délce pažní kosti z levé strany v mm (humerus.L) a vertikálním průměru (zkráceně též v. p.) hlavičky pažní kosti z levé strany v mm (humerus.HDL) u mužů a žen tří aljašských populací. Předpokládejme, že máme náhodný vektor $(X, Y)^T$, kde náhodná veličina X popisuje délku pažní kosti z levé strany v mm a náhodná veličina Y popisuje vertikální průměr hlavičky pažní kosti z levé strany v mm u mužů z kmene Tigara. (a) Najděte rozdělení, které dostatečně dobře vystihuje pravděpodobnostní chování náhodného vektoru $(X, Y)^T$, a odhadněte parametry tohoto rozdělení; (b) ověřte, že nalezené rozdělení je vhodné na popis náhodného vektoru $(X, Y)^T$; (i) vykreslete dvourozměrný tečkový diagram a superponujte jej konturami jádrového odhadu hustoty $k(x, y)$, resp. konturami hustoty $f(x, y)$ nalezeného rozdělení; (ii) vykreslete

vrstevnicový diagram jádrového odhadu hustoty $k(x, y)$ a superponujte jej konturami jádrového odhadu hustoty $k(x, y)$, resp. konturami hustoty $f(x, y)$ nalezeného rozdělení; (iii) vykreslete 3D-diagram (trojrozměrný diagram) jádrového odhadu hustoty $k(x, y)$, resp. 3D-diagram hustoty $f(x, y)$ nalezeného rozdělení. K vykreslení vrstevnicových diagramů a 3D-diagramů použijte 10 barev z palety `terrain.colors()`.

Řešení příkladu 5.9

Datový soubor načteme a vypíšeme prvních pět řádků a deset sloupců tabulky. Z načteného souboru vybereme údaje o délce pažní kosti a vertikálním průměru hlavice pažní kosti z levé strany u mužů z kmene Tigara a z výběru odstraníme řádky s chybějícími hodnotami. Z výběru separujeme naměřené délky pažní kosti a naměřené vertikální průměry hlavice pažní kosti, zjistíme rozsah datového souboru a rozpětí naměřených hodnot každého znaku.

```
39 data <- read.delim("31-goldman-alaska-hfirt.csv", sep = ";", dec = ".")
40 head(data, n = c(5, 10))
```

| | loc | pop | sex | humerus.L | humerus.R | humerus.HDL | humerus.HDR | humerus.ADL | humerus.ADR | femur.L | |
|---|-----|-----|-----|-----------|-----------|-------------|-------------|-------------|-------------|---------|----|
| 1 | ala | tig | m | 308.5 | NA | 47.55 | NA | 22.00 | NA | 443 | 41 |
| 2 | ala | ipi | m | 311.0 | 310 | 44.44 | 44.11 | 22.12 | 22.68 | 415 | 42 |
| 3 | ala | ipi | m | 289.0 | 298 | 42.94 | 44.41 | 20.36 | 22.09 | 398 | 43 |
| 4 | ala | ipi | f | 295.0 | 302 | 42.51 | 42.06 | 19.35 | 19.97 | 395 | 44 |
| 5 | ala | ipi | f | 270.5 | 281 | 39.74 | 39.84 | 19.42 | 19.38 | NA | 45 |

```
47 data.M <- na.omit(data[data$sex == "m" & data$pop == "tig", c("humerus.L",
  "humerus.HDL")])
48 humerus.LM <- data.M$humerus.L
49 humerus.HDLM <- data.M$humerus.HDL
50 length(humerus.LM) # 25
51 range(humerus.LM) # 271,5; 340,0
52 range(humerus.HDLM) # 38,15; 52,00
```

Datový soubor obsahuje údaje o délce pažní kosti a vertikálním průměru hlavice pažní kosti z levé strany u 25 mužů z kmene Tigara. Naměřené hodnoty délky pažní kosti se pohybují v rozmezí 271,5 mm až 340,00 mm. Naměřené hodnoty vertikálního průměru hlavice pažní kosti se pohybují v rozmezí 38,15 mm až 52,00 mm.

Délka pažní kosti i vertikální průměr hlavice pažní kosti z levé strany tvoří dvojici spojitých znaků, k jejich společnému popisu tedy použijeme spojitý náhodný vektor $(X, Y)^T$. Protože oba znaky popisují tělesné rozměry, mohlo by k popisu této dvojice znaků být vhodné dvourozměrné normální rozdělení. O náhodném vektoru $(X, Y)^T$ tedy předpokládáme, že pochází z dvourozměrného normálního rozdělení s vektorem středních hodnot $\mu = (\mu_1, \mu_2)^T$ a varianční maticí $\Sigma = \begin{pmatrix} \sigma_1^2 & \rho\sigma_1\sigma_2 \\ \rho\sigma_1\sigma_2 & \sigma_2^2 \end{pmatrix}$, kde μ_1 a σ_1^2 je střední hodnota a rozptyl délky pažní kosti, μ_2 a σ_2^2 je střední hodnota a rozptyl vertikálního průměru hlavice pažní kosti a ρ je koeficient korelace. Parametr μ_1 , resp. σ_1^2 odhadneme pomocí aritmetického průměru m_1 , resp. rozptylu s_1^2 naměřených hodnot délky pažní kosti. Parametr μ_2 , resp. σ_2^2 odhadneme pomocí aritmetického průměru m_2 , resp. rozptylu s_2^2 naměřených hodnot vertikálního průměru hlavice pažní kosti. Parametr ρ odhadneme pomocí Pearsonova koeficientu korelace r_{12} (viz kapitola 3). Aritmetické průměry m_1 a m_2 vypočítáme příkazem `mean()`. Rozptyly s_1^2 a s_2^2 budeme častěji zapisovat ve tvaru druhých mocnin směrodatných odchylek, jejichž hodnoty vypočítáme příkazem `sd()`. Pearsonův koeficient korelace r_{12} vypočítáme příkazem `cor()` s argumentem `method = "pearson"`.


```
53 mL <- mean(humerus.LM) # 296,34
54 mHDL <- mean(humerus.HDLM) # 43,8984
55 sL <- sd(humerus.LM) # 16,30294
56 sHDL <- sd(humerus.HDLM) # 3,21493
57 r12 <- cor(humerus.LM, humerus.HDLM, method = "pearson") # 0,8523391
```

Odhady parametrů středních hodnot $m_1 = 296,34$, $m_2 = 43,90$, odhady parametrů rozptylů $s_1^2 = 16,30^2$, $s_2^2 = 3,21^2$, odhad parametru korelačního koeficientu $r_{12} = 0,85$. O náhodném vektoru $(X, Y)^T$ předpokládáme, že pochází z dvourozměrného normálního rozdělení s vektorem středních hodnot $\mu = (296,34; 43,90)^T$ a varianční maticí $\Sigma = \begin{pmatrix} 16,30^2 & 0,85 \times 16,30 \times 3,21 \\ 0,85 \times 16,30 \times 3,21 & 3,21^2 \end{pmatrix}$, tj. $(X, Y)^T \sim N_2 \left((296,34; 43,90)^T, \begin{pmatrix} 16,30^2 & 44,67 \\ 44,67 & 3,21^2 \end{pmatrix} \right)$.

K vykreslení grafů je třeba vypočítat jádrový odhad hustoty $k(x, y)$ a dvourozměrnou hustotu $f(x, y)$ rozdělení

$N_2 \left((296, 34; 43, 90)^T, \begin{pmatrix} 16, 30^2 & 44, 67 \\ 44, 67 & 3, 21^2 \end{pmatrix} \right)$. Jádrový odhad hustoty $k(x, y)$ vypočítáme příkazem `kde2d()` z knihovny MASS. Vstupními argumenty příkazu budou vektory `humerus.LM` (argument `x`) a `humerus.HDLM` (argument `y`), argument `n` specifikující počet bodů mřížky, pro kterou bude jádrový odhad počítán (je-li `n = c(75, 75)`, pak celkový počet bodů mřížky bude 75×75), a argument `lim = c(x_min, x_max, y_min, y_max)` určující rozpětí hodnot z z hlediska osy x a z z hlediska osy y . Výstupem funkce bude posloupnost bodů osy x o délce 75 s hodnotami v rozpětí x_{\min} až x_{\max} , posloupnost bodů osy y o délce 75 s hodnotami v rozpětí y_{\min} až y_{\max} a matice z , která má dimenzi 75×75 a obsahuje pro každý bod $[x_i, y_j]$, $i, j = 1, \dots, 75$, hodnotu jádrového odhadu hustoty.

```
58 kxy <- MASS::kde2d(x = humerus.LM, y = humerus.HDLM, n = c(75, 75), lim = c(255, 348,
  35, 55))
```

Hustotu dvourozměrného normálního rozdělení $f(x, y)$ vypočítáme pomocí funkce `d2norm()` implementované v  skriptu `AS1-sbirka-funkce.R`. Syntax a výstupy funkce `d2norm()` jsou analogické jako u funkce `kde2d()`.

```
59 source("AS1-sbirka-funkce.R")
60 fxy <- d2norm(x = humerus.LM, y = humerus.HDLM, n = c(75, 75), lim = c(255, 348, 35,
  55))
```

Dvourozměrný tečkový diagram vykreslíme příkazem `plot()`. Argumenty `xlim` a `ylim` nastavíme na stejné hodnoty, jaké jsme použili v argumentu `lim` příkazu `kde2d()`. Kontury jádrového odhadu hustoty $k(x, y)$ vykreslíme příkazem `contour()`. Prvními třemi vstupními argumenty příkazu budou výstupy funkce `kde2d()`, tj. posloupnost `x`, posloupnost `y` a matice `z`. Dále následuje argument `add = T` určující, že se kontury vykreslí do stávajícího tečkového diagramu, argument `levels` specifikující výšky kontur (příkazem `seq()` nadefinujeme posloupnost $l = 10$ výšek kontur v rozpětí od nuly po maximální hodnotu jádrového odhadu hustoty; tyto kontury od sebe oddělují $l - 1$ vrstev) a argument `drawlabels = F` potlačující u každé kontury vypsaní popisku s výškou kontury. Výsledný graf je zobrazen na obrázku 5.5 vlevo.

```
61 l <- 10
62 plot(humerus.LM, humerus.HDLM, las = 1, pch = 21, col = "darkgreen", bg =
  "darkolivegreen1", xlim = c(255, 348), ylim = c(35, 55), xlab = "délka pažní kosti
  (mm)", ylab = "v. p. hlavice pažní kosti (mm)")
63 contour(kxy$x, kxy$y, kxy$z, add = T, levels = seq(0, max(kxy$z), length = 1),
  drawlabels = F)
```

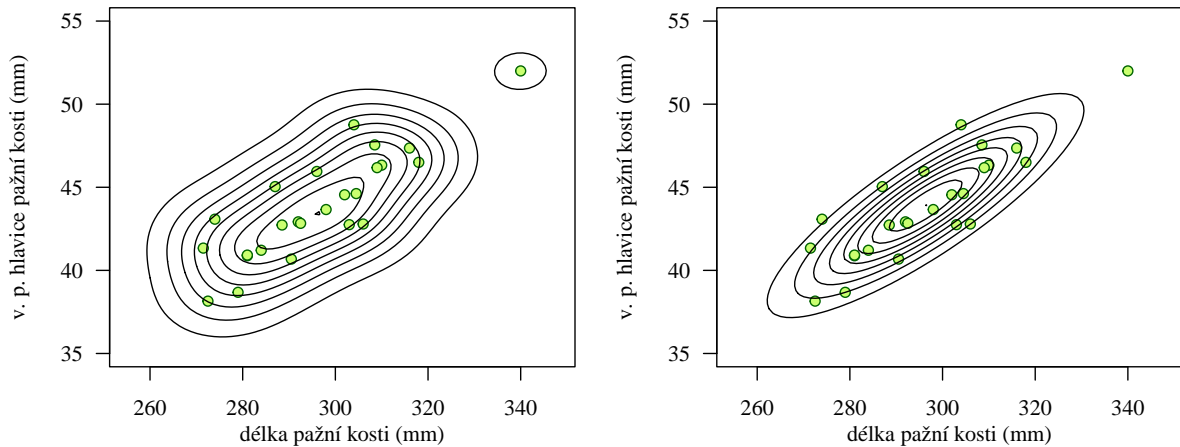
Analogickým způsobem vykreslíme tečkový diagram s konturami hustoty $f(x, y)$ dvourozměrného normálního rozdělení (viz obrázek 5.5 vpravo).

```
64 plot(humerus.LM, humerus.HDLM, las = 1, pch = 21, col = "darkgreen", bg =
  "darkolivegreen1", xlim = c(255, 348), ylim = c(35, 55), xlab = "délka pažní kosti
  (mm)", ylab = "v. p. hlavice pažní kosti (mm)")
65 contour(fxy$x, fxy$y, fxy$z, add = T, levels = seq(0, max(fxy$z), length = 1),
  drawlabels = F)
```

Vrstevnicový diagram jádrového odhadu hustoty $k(x, y)$ vykreslíme příkazem `image()`. Prvními třemi vstupními argumenty příkazu budou výstupy funkce `kde2d()`, tj. posloupnost `x`, posloupnost `y` a matice `z`. Následuje argument `col`, kterým specifikujeme paletu odstínů barev vrstevnicového diagramu. Zde konkrétně volíme $l - 1$ odstínů barev z palety `terrain.colors()`, neboť l -tým odstínem je vždy automaticky přednastavená bílá barva. Volit můžeme i další palety barev, například paletu `heat.colors()`, `topo.colors()`, `cm.colors()`, `hcl.colors()`, `rainbow()`, apod. Dále argumentem `breaks` specifikujeme výšky oddělující od sebe jednotlivé vrstvy diagramu. Syntax argumentu `breaks` je analogická syntaxi argumentu `levels` funkce `contour()`. Nakonec v příkazu nastavíme otočení popisků měřítka osy y o 90° (argument `las`), popisek osy x (argument `xlab`) a popisek osy y (argument `ylab`). Kontury doplníme do vrstevnicového diagramu zvlášť příkazem `contour()`. Výsledný graf je zobrazen na obrázku 5.6 vlevo.

```
66 image(kxy$x, kxy$y, kxy$z, col = terrain.colors(l - 1), breaks = seq(0, max(kxy$z),
  length = 1), las = 1, xlab = "délka pažní kosti (mm)", ylab = "v. p. hlavice pažní
  kosti (mm)")
67 contour(kxy$x, kxy$y, kxy$z, add = T, levels = seq(0, max(kxy$z), length = 1),
  drawlabels = F)
```

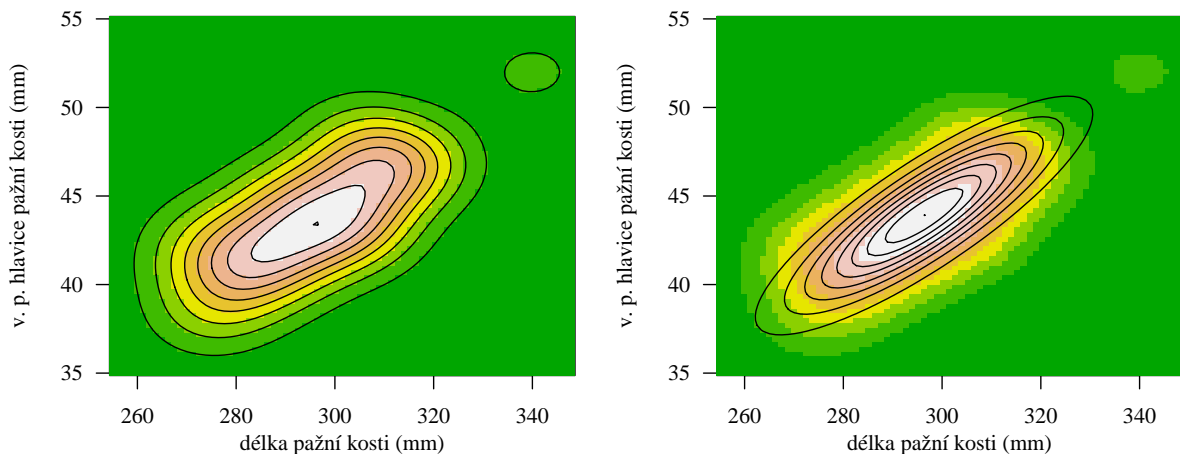
Analogickým způsobem vykreslíme vrstevnicový diagram jádrového odhadu hustoty $k(x, y)$ superponovaný konturami hustoty $f(x, y)$ dvourozměrného normálního rozdělení (viz obrázek 5.6 vpravo). Diagram slouží k porovnání



Obrázek 5.5: Dvourozměrný tečkový diagram superponovaný (a) konturami jádrového odhadu hustoty (vlevo); (b) konturami hustoty dvourozměrného normálního rozdělení (vpravo) pro délku pažní kosti a vertikální průměr hlavice pažní kosti z levé strany u mužů

tvaru dvourozměrných reálných dat s tvarem dvourozměrného normálního rozdělení s parametry odhadnutými na základě dat.

```
68 image(kxy$x, kxy$y, kxy$z, col = terrain.colors(1 - 1), breaks = seq(0, max(kxy$z),
length = 1), las = 1, xlab = "délka pažní kosti (mm)", ylab = "v. p. hlavice pažní
kosti (mm)")
69 contour(fxy$x, fxy$y, fxy$z, add = T, levels = seq(0, max(fxy$z), length = 1),
drawlabels = F)
```



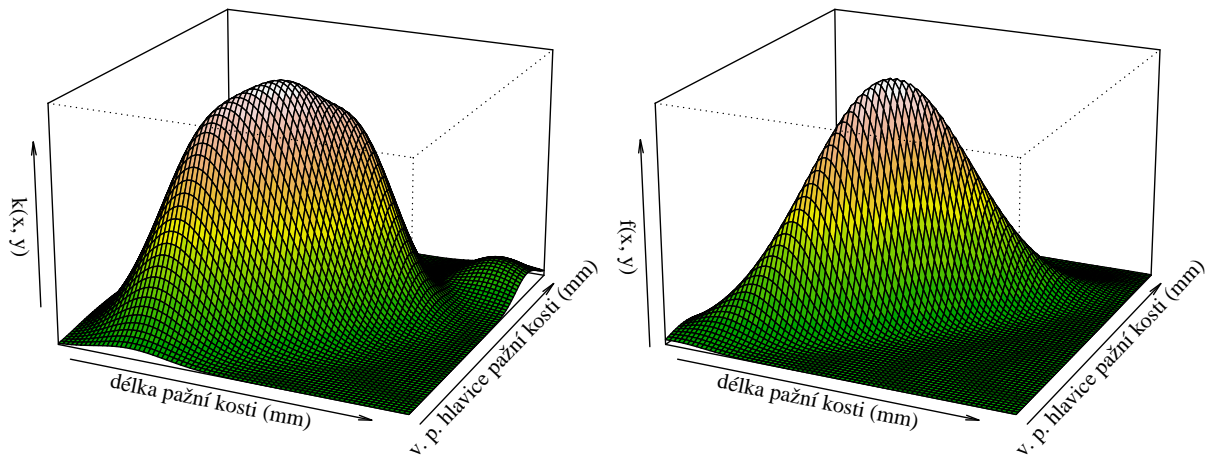
Obrázek 5.6: Vrstevnicový diagram jádrového odhadu hustoty superponovaný (a) konturami jádrového odhadu hustoty (vlevo); (b) konturami hustoty dvourozměrného normálního rozdělení (vpravo) pro délku pažní kosti a vertikální průměr hlavice pažní kosti z levé strany u mužů

3D-diagram jádrového odhadu hustoty $k(x, y)$ vykreslíme příkazem `persp3D()` z knihovny `GA`. První tři vstupní argumenty příkazu jsou opět výstupy funkce `kde2d()`. Následují argumenty `phi` a `theta` specifikující natočení 3D-diagramu z hlediska osy x a osy y . Dále argumentem `ticktype = "simple"` nahradíme měřítko os x , y a z ilustrativními šipkami ukazujícími směr růstu hodnot na osách (toto nastavení používáme pro přehlednější a elegantnější vzhled 3D-diagramu), argumentem `col.palette` vybereme paletu barev a argumentem `border = "black"` stanovíme černou barvu sítě 3D-diagramu. Nakonec specifikujeme popisek osy x , y a z argumenty `xlab`, `ylab` a `zlab`. Výsledný diagram je zobrazen na obrázku 5.7 vlevo.

```
70 GA::persp3D(kxy$x, kxy$y, kxy$z, phi = 20, theta = 25, ticktype = "simple", col.palette
  = terrain.colors, border = "black", xlab = "délka pažní kosti (mm)", ylab = "v. p.
  hlavice pažní kosti (mm)", zlab = "k(x, y)")
```

Analogicky vykreslíme 3D-diagram hustoty $f(x, y)$ dvourozměrného normálního rozdělení (viz obrázek 5.7 vpravo).

```
71 GA::persp3D(fxy$x, fxy$y, fxy$z, phi = 20, theta = 25, ticktype = "simple", col.palette
  = terrain.colors, border = "black", xlab = "délka pažní kosti (mm)", ylab = "v. p.
  hlavice pažní kosti (mm)", zlab = "f(x, y)")
```



Obrázek 5.7: 3D-diagram jádrového odhadu hustoty (vlevo); 3D-diagram hustoty dvourozměrného normálního rozdělení (vpravo) pro délku pažní kosti a vertikální průměr hlavice pažní kosti z levé strany u mužů

Porovnáním grafů zobrazujících jádrový odhad hustoty $k(x, y)$ a hustotu $f(x, y)$ dvourozměrného normálního rozdělení na obrázcích 5.5, 5.6 a 5.7 zjistíme, že grafická vizualizace podporuje náš závěr, že náhodný vektor $(X, Y)^T$ popisující délku pažní kosti z levé strany v mm a vertikální průměr hlavice pažní kosti z levé strany v mm u mužů z kmene Tigara pochází z dvourozměrného normálního rozdělení s parametry $\mu_1 = 296,34$, $\mu_2 = 43,90$, $\sigma_1^2 = 16,30^2$, $\sigma_2^2 = 3,21^2$ a $\rho = 0,85$.

★

Příklad 5.10. Řešení příklad

Za předpokladu, že náhodný vektor $(X, Y)^T$ popisující délku pažní kosti z levé strany v mm a vertikální průměr hlavice pažní kosti z levé strany v mm u mužů z kmene Tigara pochází z dvourozměrného normálního rozdělení s parametry $\mu_1 = 296,34$, $\mu_2 = 43,90$, $\sigma_1^2 = 16,30^2$, $\sigma_2^2 = 3,21^2$ a $\rho = 0,85$, (a) zjistěte marginální rozdělení náhodné veličiny X , resp. Y ; (b) nakreslete graf křivky hustoty $f_X(x)$, resp. $f_Y(y)$ marginálního rozdělení spolu s křivkou jádrového odhadu hustoty náhodné veličiny X , resp. Y .

Řešení příkladu 5.10

Za předpokladu, že náhodný vektor $(X, Y)^T$ pochází z dvourozměrného normálního rozdělení s parametry $\mu_1 = 296,34$, $\mu_2 = 43,90$, $\sigma_1^2 = 16,30^2$, $\sigma_2^2 = 3,21^2$ a $\rho = 0,85$, můžeme z druhého bodu věty 5.2 odvodit, že náhodná veličina $X \sim N(296,34; 16,30^2)$ a náhodná veličina $Y \sim N(43,90; 3,21^2)$. Délka pažní kosti z levé strany u mužů z kmene Tigara se pohybuje okolo střední hodnoty 296,34 mm se směrodatnou odchylkou 16,30 mm. Vertikální průměr hlavice pažní kosti z levé strany u mužů z kmene Tigara se pohybuje okolo střední hodnoty 43,90 mm se směrodatnou odchylkou 3,21 mm.

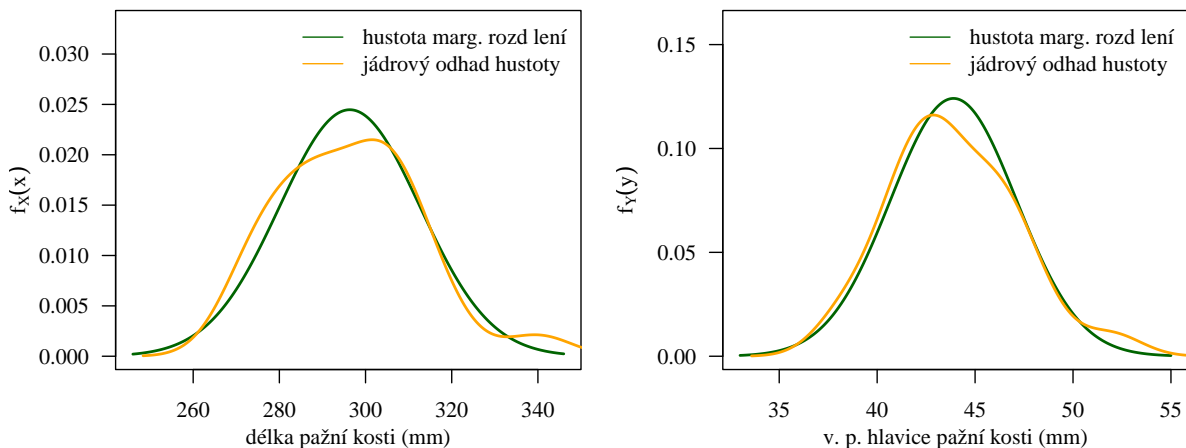
K vykreslení grafu křivky hustoty $f_X(x)$ marginálního rozdělení náhodné veličiny X si nejprve vytvoříme posloupnost hodnot z intervalu se středem v bodě 296 mm, tj. například posloupnost v rozmezí 246 mm až 346 mm. Pro každý prvek této posloupnosti potom příkazem `dnorm()` vypočítáme hodnotu hustoty $f_X(x)$ rozdělení $N(296,34; 16,30^2)$. V příkazu použijeme nezaokrouhlené odhady parametrů μ_1 a σ_1^2 vypočítané v příkladu 5.9. Následně příkazem

plot() s argumentem type = "l" vykreslíme graf s křivkou hustoty $f_X(x)$ a příkazem lines() do něj doplníme křivku jádrového odhadu hustoty vypočítaného příkazem density(). Nakonec do grafu doplníme legendu rozlišující obě vykreslené křivky. Výsledný graf je zobrazen na obrázku 5.8 vlevo.

```
72 x <- seq(from = 246, to = 346, length = 512)
73 fx <- dnorm(x = x, mean = mL, sd = sL)
74 plot(x, fx, type = "l", las = 1, lwd = 2, col = "darkgreen", ylim = c(0, 0.033), xlab =
  "délka pažní kosti (mm)", ylab = expression(f[X](x)))
75 lines(density(humerus.LM), lwd = 2, col = "orange")
76 legend("topright", bty = "n", lwd = c(1, 1), col = c("darkgreen", "orange"), legend =
  c("hustota marg. rozdělení", "jádrový odhad hustoty"))
```

Analogicky vykreslíme graf hustoty $f_Y(y)$ marginálního rozdělení a jádrového odhadu hustoty náhodné veličiny Y (viz obrázek 5.8 vpravo).

```
77 y <- seq(from = 33, to = 55, length = 512)
78 fy <- dnorm(x = y, mean = mHDL, sd = sHDL)
79 plot(y, fy, type = "l", las = 1, lwd = 2, col = "darkgreen", ylim = c(0, 0.16), xlab =
  "v. p. hlavice pažní kosti (mm)", ylab = expression(f[Y](y)))
80 lines(density(humerus.HDLM), lwd = 2, col = "orange")
81 legend("topright", bty = "n", lwd = c(1, 1), col = c("darkgreen", "orange"), legend =
  c("hustota marg. rozdělení", "jádrový odhad hustoty"))
```



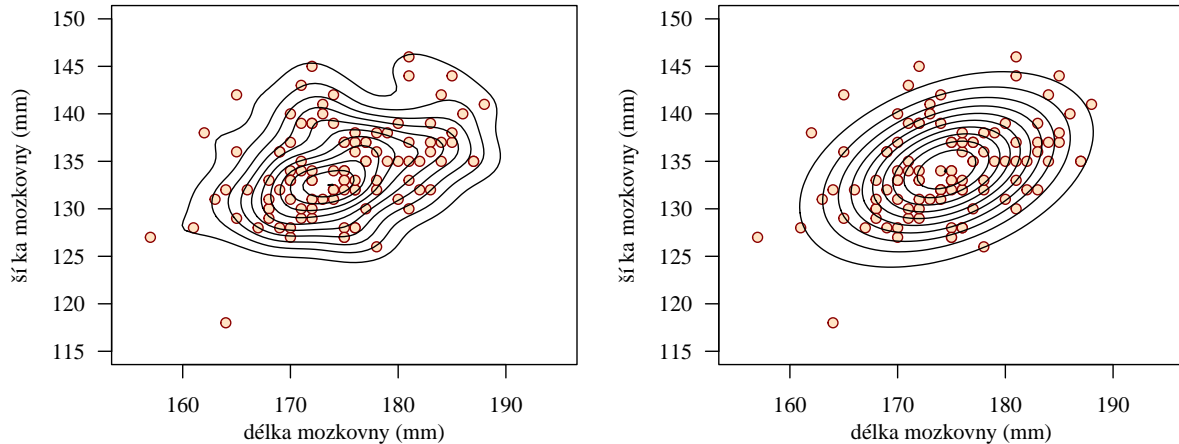
Obrázek 5.8: Křivka hustoty marginálního rozdělení a jádrového odhadu hustoty pro délku pažní kosti (vlevo) a pro vertikální průměr hlavice pažní kosti (vpravo) z levé strany u mužů

★

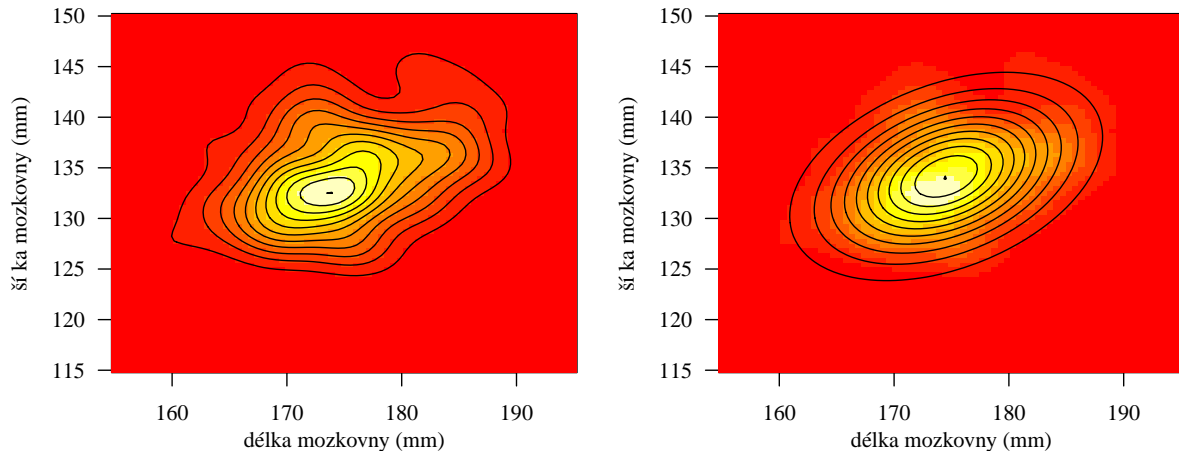
Příklad 5.11. Neřešený příklad

Načtete datový soubor 01-one-sample-mean-skull-mf.txt obsahující údaje o délce mozkovny v mm (skull.L) a šířce mozkovny v mm (skull.B) u mužů a žen starověké egyptské populace. Předpokládejme, že máme náhodný vektor $(X, Y)^T$, kde náhodná veličina X popisuje délku mozkovny v mm a náhodná veličina Y popisuje šířku mozkovny v mm u žen starověké egyptské populace. (a) Najděte rozdělení, které dostatečně dobře vystihuje pravděpodobnostní chování náhodného vektoru $(X, Y)^T$, a odhadněte parametry tohoto rozdělení; (b) ověřte, že nalezené rozdělení je vhodné na popis náhodného vektoru $(X, Y)^T$; (i) vykreslete dvourozměrný tečkový diagram a superponujte jej konturami jádrového odhadu hustoty $k(x, y)$, resp. konturami hustoty $f(x, y)$ nalezeného rozdělení; (ii) vykreslete vrstevnicový diagram jádrového odhadu hustoty $k(x, y)$ a superponujte jej konturami jádrového odhadu hustoty $k(x, y)$, resp. konturami hustoty $f(x, y)$ nalezeného rozdělení; (iii) vykreslete 3D-diagram jádrového odhadu hustoty $k(x, y)$, resp. 3D-diagram hustoty $f(x, y)$ nalezeného rozdělení. K vykreslení vrstevnicových diagramů a 3D-diagramů použijte 12 barev z palety heat.colors().

Výsledky: (a) $(X, Y)^T \sim N_2 \left((174, 53; 134, 15)^T, \begin{pmatrix} 6, 22^2 & 11, 12 \\ 11, 12 & 4, 70^2 \end{pmatrix} \right)$, $r_{12} = 0, 38$; (b-i) dvourozměrný tečkový diagram superponovaný konturami jádrového odhadu hustoty $k(x, y)$, resp. konturami hustoty $f(x, y)$ dvourozměrného normálního rozdělení viz obrázek 5.9 vlevo, resp. vpravo; (b-ii) vrstevnicový diagram superponovaný konturami jádrového odhadu hustoty $k(x, y)$, resp. konturami hustoty $f(x, y)$ viz obrázek 5.10 vlevo, resp. vpravo; (b-iii) 3D-diagram jádrového odhadu hustoty $k(x, y)$, resp. hustoty $f(x, y)$ viz obrázek 5.11 vlevo, resp. vpravo.



Obrázek 5.9: Dvourozměrný tečkový diagram superponovaný (a) konturami jádrového odhadu hustoty (vlevo); (b) konturami hustoty dvourozměrného normálního rozdělení (vpravo) pro délku mozkovny a šířku mozkovny u žen

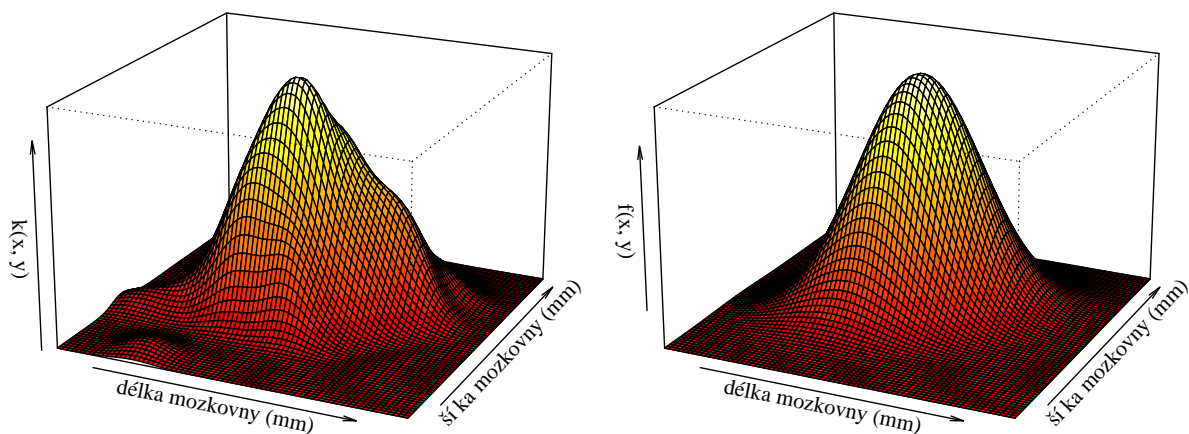


Obrázek 5.10: Vrstevnicový diagram jádrového odhadu hustoty superponovaný (a) konturami jádrového odhadu hustoty (vlevo); (b) konturami hustoty dvourozměrného normálního rozdělení (vpravo) pro délku mozkovny a šířku mozkovny u žen

★

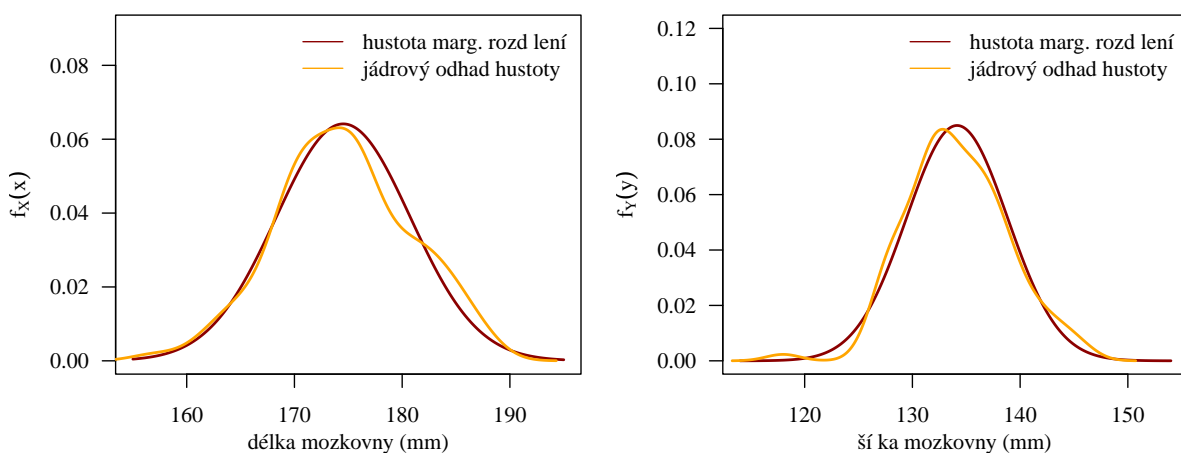
Příklad 5.12. Neřešený příklad

Za předpokladu, že náhodný vektor $(X, Y)^T$ popisující délku mozkovny v mm a šířku mozkovny v mm u žen starověké egyptské populace pochází z dvourozměrného normálního rozdělení s parametry $\mu_1 = 174, 53$, $\mu_2 = 134, 15$, $\sigma_1^2 = 6, 22^2$, $\sigma_2^2 = 4, 70^2$ a $\rho = 0, 38$, (a) zjistěte marginální rozdělení náhodné veličiny X , resp. Y ; (b) nakreslete graf křivky hustoty $f_X(x)$, resp. $f_Y(y)$ marginálního rozdělení spolu s křivkou jádrového odhadu hustoty náhodné veličiny X , resp. Y .



Obrázek 5.11: 3D-diagram jádrového odhadu hustoty (vlevo); 3D-diagram hustoty dvourozměrného normálního rozdělení (vpravo) pro délku mozkovny a šířku mozkovny u žen

Výsledky: (a) $X \sim N(174, 53; 6, 22^2)$, $Y \sim N(134, 15; 4, 70^2)$; (b) graf křivky hustoty $f_X(x)$, resp. $f_Y(y)$ marginálního rozdělení a jádrového odhadu hustoty náhodné veličiny X , resp. Y viz obrázek 5.12 vlevo, resp. vpravo.



Obrázek 5.12: Křivka hustoty marginálního rozdělení a jádrového odhadu hustoty pro délku mozkovny (vlevo) a pro šířku mozkovny (vpravo) u žen

★